

室蘭工業大学 正員 能町 純雄  
 ○ 学生員 岡村 忠夫

1. まえがき

曲線格子桁の解法には断面積を不変と仮定して、解析を容易ならしめるものや、R. Dabrowski 理論を用いて横桁を二個の不静定量で示し、同次数の方程式を解くなど多くの研究がある。ここでは主桁の格間要素について、変位と格点断面力の関係式を求めて、格点における鉛直力、曲げモーメント、トルクの釣合と適合条件式に対する基本差分方程式を求め、定積分 Sin 変換によって解析する方法と数値計算例を示す。

2. 仮定及び記号

1) 座標は曲率の中心に対し時計廻り方向に増加するものとし、主桁断面面角及び断面トルクは、最大座標値断面に於いて時計廻りを正とする。 2) 横桁は等間隔に主桁と直交し、その捩り抵抗は無視する。 3) 主桁曲げモーメントは下側引張りを正とする。 4) 曲げ捩りモーメントは閉断面主桁の場合考慮し、開断面の場合これを無視する。 5) 荷重は格点に作用する鉛直荷重とする。

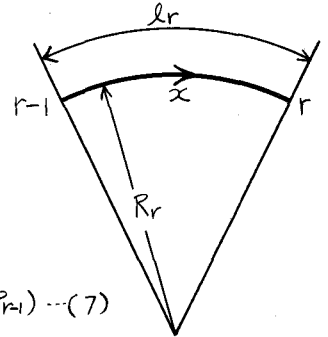
主桁断面=次モーメント...I 主桁曲げモーメント...M 主桁トルク...H 主桁廻り角...θ  
 横桁断面=次モーメント...I<sub>0</sub> 主桁曲げ捩り定数...C<sub>w</sub> 主桁剪断力...Q 主桁捩れ角...φ  
 主桁曲げ捩りモーメント...B 横桁端モーメント...m<sub>c</sub> 横桁剪断力...X 主桁捩れ定数...J

3. 力の釣合と適合条件式

今任意の主桁 S に於て、格点 r, r+1 間の主桁について考えるに、曲げモーメント、トルク、剪断力間に次の式が成り立つ。

$$\frac{d^2M}{dx^2} + \frac{M}{R^2} = 0 \dots (1) \quad \frac{dH}{dx} = -\frac{M}{R} \dots (2) \quad Q = \frac{dM}{dx} - \frac{H}{R} \dots (3)$$

$$\therefore M = \frac{\sin(\ell-x)/R}{\sin \ell/R} M_{r-1} + \frac{\sin x/R}{\sin \ell/R} M_r \dots (4)$$



トルクと捩れ角との関係は閉断面主桁(閉断面の場合 §4.2 述べる)の場合、曲げ捩りモーメントを無視して

$$-GJ \frac{d^2\phi}{dx^2} = \frac{M}{R} = -\frac{dH}{dx} \dots (5)$$

$$\therefore \phi = -\frac{\bar{M}}{GJR} + \frac{\ell-x}{\ell} \phi_{r-1} + \frac{x}{\ell} \phi_r \dots (6) \quad (\bar{M} \text{ は } M \text{ の } 2 \text{ 度積分})$$

$$(5), (6) \text{ より } H_{r,r} = -\frac{1}{\ell} M_{r-1} \omega'(\ell) + \frac{1}{\ell} M_r \omega'(0) + \frac{GJ}{\ell} (\phi_r - \phi_{r-1}) \dots (7)$$

$$\text{但し } \phi = \ell/R; \omega(x) = \frac{\ell \sin x/R}{\sin \ell/R} - x$$

$$\text{両端の } x \text{ 方向剪断力は (3) 式を用いて } Q_{r,r} = \frac{1}{\ell} (M_r - M_{r-1}) - \frac{GJ}{R\ell} (\phi_r - \phi_{r-1}) + P \frac{c}{\ell} \dots (8)$$

$$\text{ためみと曲げモーメントの間に次の式が成り立つ } -EI \left( \frac{d^2\psi}{dx^2} + \frac{\psi}{R^2} + \frac{\phi}{R} \right) = M \dots (9)$$

$$\therefore \psi = \frac{R}{EI} M_{r-1} \left[ \left( \frac{GJ}{EI} + 1 \right) \psi(\ell-x) - \frac{R}{\ell} \omega(\ell-x) \right] + \frac{R}{EI} M_r \left[ \left( \frac{GJ}{EI} + 1 \right) \psi(x) - \frac{R}{\ell} \omega(x) \right] + \frac{1}{\ell} \phi_{r-1} \omega(\ell-x) + \frac{1}{\ell} \phi_r \omega(x) + \frac{\phi_{r-1}}{\ell} \{ \omega(\ell-x) + \ell - x \} + \frac{\phi_r}{\ell} \{ \omega(x) + x \} \dots (10)$$

ただし  $\psi(x) = \frac{1}{4s \sin \frac{\lambda}{2} R} \{ (\ell+x) \sin(\ell-x) R - (\ell-x) \sin(\ell+x) R \}$ , (10) 式を微分し  $w'(x)$ ,  $\psi(x)$  の Taylor 展開の 1 項を取ると  $\frac{dw}{dx} \Big|_{x=0} = \frac{\ell}{8EI} (2Mr_1 + Mr) + \frac{\ell}{8R} (2\varphi_{r-1} + \varphi) + \frac{1}{\ell} (y_r - y_{r-1}) \dots (11)$

4 開断面主桁の場合

開断面主桁については参考文献(3)に記してあるので、こゝでは、結果だけを示す。

曲げ捩りとサンベナンの捩れを考慮すれば、外力の捩れモーメントは

$$\frac{d^2 B}{dx^2} - \frac{d^2 \varphi}{dx^2} = \frac{M}{R} = -\frac{dH}{dx} \dots (12) \quad \frac{d^2 B}{dx^2} - k^2 B = \frac{M}{R} \dots (13) \quad (\text{但し } k^2 = \frac{GJ}{EI C_w})$$

$$\varphi = \frac{B}{GJ} - \frac{M}{GJR} - \frac{\ell-x}{\ell} \left( \frac{Br_1}{GJ} - \varphi_{r-1} \right) + \frac{x}{\ell} \left( \frac{Br}{GJ} - \varphi_r \right) \dots (14)$$

$$H = -\frac{M}{R} - \frac{1}{\ell} \{ Br - Br_1 - GJ(\varphi_r - \varphi_{r-1}) \} \dots (15) \quad Q = \frac{1}{\ell} (Mr - Mr_1) + \frac{1}{R\ell} \{ Br - Br_1 - GJ(\varphi_r - \varphi_{r-1}) \}$$

$$\frac{d\psi}{dx} = -\frac{R}{GJ} Mr_1 \alpha(\ell-x) + \frac{R}{GJ} Mr \alpha(x) - Br_1 \frac{1}{GJ\ell} \beta(\ell-x) + Br \frac{1}{GJ\ell} \beta(x) - \theta_{r-1} \frac{1}{\ell} w'(\ell-x) \dots (16)$$

$$+ \theta_r \frac{1}{\ell} w'(x) - \frac{y_{r-1}}{\ell} + \frac{y_r}{\ell} \dots (17)$$

$$\frac{d\varphi}{dx} = \frac{Mr_1}{GJ\ell} \beta(\ell-x) - \frac{Mr}{GJ\ell} \beta(x) + \frac{Br}{GJ\ell} \phi(x) - \frac{Br_1}{GJ\ell} \phi(\ell-x) + (\varphi_r - \varphi_{r-1})/\ell \dots (18)$$

但し  $\alpha(x) = \left( \frac{GJ}{EI} + 1 - \frac{1}{\eta} \right) \psi'(x) - \frac{1}{\ell} w'(x) + \frac{1}{\eta^2 \beta} \{ w'(x) - \phi'(x) \}$ ;  $\eta = 1 + k^2 R^2$

$$\beta(x) = \frac{1}{\eta} \{ w'(x) - \phi'(x) \} - w'(x); \quad \phi(x) = \ell \frac{\sinh kx}{\sinh k\ell} - x$$

### 5 基本差分方程式

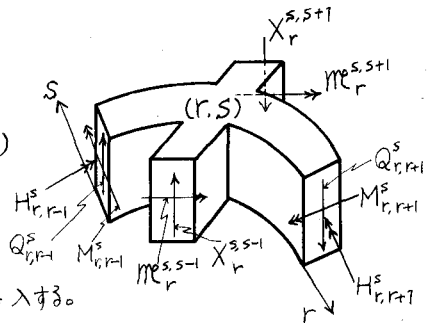
格点  $(r, s)$  に於ける力の釣合、及び連続の条件は

$$\left. \begin{aligned} H_{r,r+1}^s - H_{r,r}^s - m c_r^{s,s+1} - m c_r^{s,s-1} &= 0 \\ Q_{r,r+1}^s - Q_{r,r}^s + X_r^{s,s+1} - X_r^{s,s-1} + P_{r,s} &= 0 \end{aligned} \right\} \dots (19)$$

$$\frac{d\psi}{dx} \Big|_{r,r+1} - \frac{d\psi}{dx} \Big|_{r,r} = 0$$

開断面主桁の場合上の三式の他に

$$\frac{d\varphi}{dx} \Big|_{r,r+1} - \frac{d\varphi}{dx} \Big|_{r,r} = 0 \text{ の連続の条件式を導入する。}$$



(7), (8), (12) 式を (18) 式に代入し  $\Delta^2 f(x-1) = f(x+1) - 2f(x) + f(x-1)$  を用いて表わす。

$$\left. \begin{aligned} \frac{GJ\ell^2}{8R^2} \Delta^2 \varphi_r^s + \frac{\ell^2}{8R^2} (\Delta^2 M_r^s + 6M_r^s) - \frac{ZEI_0}{\lambda_0} \{ \alpha \theta_r^s + \alpha \theta_r^{s+1} - 3 \frac{y_r^s - y_r^{s+1}}{\lambda} \} - \frac{ZEI_0}{\lambda_0} \{ \alpha \theta_r^s + \alpha \theta_r^{s-1} - 3 \frac{y_r^s - y_r^{s-1}}{\lambda} \} &= 0 \\ -\frac{GJ\ell^2}{8R^2} \Delta^2 \varphi_r^s + \frac{\ell^2}{8R^2} \Delta^2 M_r^s - \frac{6EI_0}{\lambda_0 \lambda} \{ \theta_r^s + \theta_r^{s-1} - 2 \frac{y_r^s - y_r^{s-1}}{\lambda} \} + \frac{6EI_0}{\lambda_0 \lambda} \{ \theta_r^s + \theta_r^{s-1} - 2 \frac{y_r^s - y_r^{s-1}}{\lambda} \} + P_{r,s} &= 0 \\ \frac{\ell^2}{6EI^s} (\Delta^2 M_{r-1}^s + 6M_r^s) + \frac{\ell^2}{8R^2} (\Delta^2 \theta_{r-1}^s + 6\theta_r^s) + \frac{\Delta^2 y_{r-1}^s}{\ell_r^2} &= 0 \end{aligned} \right\} \dots (20)$$

### 6 定和分変換

$$\text{逆変換公式 } S_i[f(x)] = \sum_{x=1}^{n-1} f(x) \sin \frac{i\pi x}{n} \quad f(x) = \frac{2}{n} \sum_{i=1}^{n-1} S_i[f(x)] \sin \frac{i\pi x}{n} \quad 0 < x < n \dots (21)$$

二次差分の Fourier 定和分  $S_i[\Delta^2 f(x-1)] = -\sin \frac{i\pi}{n} \{ (-1)^i f(n) - f(0) \} - D_i S_i[f(x)]$

$D_i = 2(1 - \cos \frac{i\pi}{n})$  基本差分方程式(20)に  $S_i$  を作用させる。

$$\frac{\ell^2}{8R^2} (6 - D_i) S_i[M_r^s] - \left( \frac{GJ\ell^2}{8R^2} D_i + \frac{8EI_0 \alpha}{\lambda_0} \right) S_i[\theta_r^s] - \frac{ZEI_0 \alpha'}{\lambda_0} \{ S_i[\theta_r^{s-1}] + S_i[\theta_r^{s+1}] \} \\ + \frac{GJ\ell^2}{8R^2} D_i S_i[y_r^s] + \frac{6EI_0}{\lambda_0} \{ S_i[y_r^{s-1}] - S_i[y_r^{s+1}] \} = -\sin \frac{i\pi}{n} \{ (-1)^i M_n^s - M_0^s \} \frac{\ell^2}{8R^2}$$

----- (22-a)

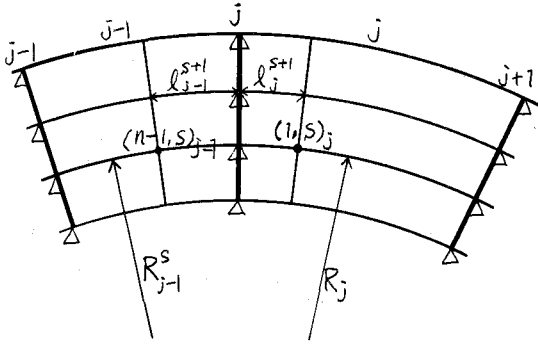
$$\frac{1}{L^S} S_i [M_r^S] - \frac{GJ^S}{L^S R^S} D_i S [\theta_r^S] + \frac{6EI_0}{\lambda \lambda_0} \{ S_i [\theta_r^{S+1}] - S_i [\theta_r^{S-1}] \} + \left\{ \frac{GJ^S}{L^S (R^S)^2} 2D_i + \frac{24EI_0}{\lambda^2 \lambda_0} \right\} S_i [y_r^S] - \frac{(2EI_0)}{\lambda^2 \lambda_0} \{ S_i [y_r^{S-1}] + S_i [y_r^{S+1}] \} = \sin \frac{\pi}{n} \{ (-1)^i M_n^S - M_0 \} \frac{1}{L^S} - S_i [P_r^S] \quad \text{----- (22-b)}$$

$$(6-D_i) S_i [M_r^S] - \frac{6EI_0}{(L^S)^2} D_i S_i [y_r^S] + \frac{EI_0}{R^S} (6-D_i) S_i [\theta_r^S] = -\sin \frac{\pi}{n} \{ (-1)^i M_n^S - M_0 \} \quad \text{---- (22-c)}$$

(22)のa~cより3x5元の連立方程式、n-1個解いて \$S\_i[M\_r^S], S\_i[\theta\_r^S], S\_i[y\_r^S]\$ を求め(21)より \$M\_r^S, \theta\_r^S, y\_r^S\$ を求め得る。

7支莫モーメントの計算

支莫モーメント \$M\_{j-1}^S, M\_j^S, M\_{j+1}^S\$ に単位モーメントを作用させ \$(n-1, S)\_{j-1}, (1, S)\_j\$ 莫の \$M, \theta, y\$ を支莫モーメントの係数倍として表わす。今 \$j\$ 支莫の \$r\$ 主桁について支莫ごの Slope の連続条件式は、(12)式より



$$\frac{l_{j-1}^S}{6EI_{j-1}^S} \{ ZM_j^S + M_{j-1, n-1}^S \} + \frac{l_j^S}{6EI_j^S} \{ ZM_j^S + M_{j, 1}^S \} + \frac{l_{j-1}^S}{6R_{j-1}^S} \{ Z\theta_j^S + \theta_{j-1, n-1}^S \} + \frac{l_j^S}{6R_j^S} \{ Z\theta_j^S + \theta_{j, 1}^S \} - \frac{1}{L_{j-1}^S} (y_j^S - y_{j-1, n-1}^S) - \frac{1}{L_j^S} (y_j^S - y_{j, 1}^S) + L_j^S - L_{j-1}^S = 0$$

支莫上でのため、回転が零であるとし \$(n-1, S)\_{j-1}, (1, S)\_j\$ 莫の値を支莫モーメントで表わすと、

$$\frac{l_{j-1}^S}{6EI_{j-1}^S} \{ ZM_j^S + \sum_{s=1}^S (m_{j-1}^{SM} M_j^S + \dot{m}_{j-1}^{SM} M_{j-1}^S) \} + \frac{l_j^S}{6EI_j^S} \{ ZM_j^S + \sum_{s=1}^S (m_j^{SM} M_j^S + \dot{m}_j^{SM} M_{j+1}^S) \} + \frac{l_{j-1}^S}{6R_{j-1}^S} \sum_{s=1}^S (\theta_{j-1}^{SM} M_j^S + \dot{\theta}_{j-1}^{SM} M_{j-1}^S) + \frac{l_j^S}{6R_j^S} \sum_{s=1}^S (\theta_j^{SM} M_j^S + \dot{\theta}_j^{SM} M_{j+1}^S) + \frac{1}{L_{j-1}^S} \sum_{s=1}^S (Y_{j-1}^{SM} M_j^S + \dot{Y}_{j-1}^{SM} M_{j-1}^S) + \frac{1}{L_j^S} \sum_{s=1}^S (Y_j^{SM} M_j^S + \dot{Y}_j^{SM} M_{j+1}^S) + L_j^S - L_{j-1}^S = 0 \quad \text{----- (23)}$$

\$m^{SM}, \theta^{SM}, Y^{SM}\$ は、単位支莫モーメント \$M\_j^S\$ を、\$\dot{m}^{SM}, \dot{\theta}^{SM}, \dot{Y}^{SM}\$ は \$M\_{j-1}^S, M\_{j+1}^S\$ を作用させた場合の \$(n-1, S)\_{j-1}, (1, S)\_j\$ 莫の \$M, \theta, y\$ をそれぞれ表わす。\$L\$ は単純桁ごの荷重による支莫の Slope である(23)式は、連続桁の三連モーメント式に相当する。

開断面主桁の場合 \$dy/dx\$ 及び \$dy/dx\$ の連続の条件より(23)と同様な式を得る。

$$\frac{R_{j-1}^S}{4GJ_{j-1}^S} \{ -M_j^S \alpha_{j-1}^S(\ell) + \alpha_{j-1}^S(0) \sum_{s=1}^S [M]_{j-1}^S \} + \frac{R_j^S}{4GJ_j^S} \{ -M_j^S \alpha_j^S(\ell) + \alpha_j^S(0) \sum_{s=1}^S [M]_j^S \} + \frac{1}{4GJ_{j-1}^S \beta_{j-1}^S} \{ -B_j^S \beta_{j-1}^S(\ell) + \beta_{j-1}^S(0) \sum_{s=1}^S [B]_{j-1}^S \} + \frac{1}{4GJ_j^S \beta_j^S} \{ -B_j^S \beta_j^S(\ell) + \beta_j^S(0) \sum_{s=1}^S [B]_j^S \} + \frac{1}{\beta_{j-1}^S} \omega(0) \sum_{s=1}^S [\theta]_{j-1}^S + \frac{1}{\beta_j^S} \omega(\ell) \sum_{s=1}^S [\theta]_j^S + \frac{1}{L_{j-1}^S} \sum_{s=1}^S [Y]_{j-1}^S + \frac{1}{L_j^S} \sum_{s=1}^S [Y]_j^S + L_j^S - L_{j-1}^S = 0 \quad \text{----- (24)}$$

$$\frac{1}{4GJ_{j-1}^S \beta_{j-1}^S} \{ M_j^S \beta_{j-1}^S(\ell) - \beta_{j-1}^S(0) \sum_{s=1}^S [M]_{j-1}^S + \frac{1}{4GJ_j^S \beta_j^S} \{ M_j^S \beta_j^S(0) - \beta_j^S \sum_{s=1}^S [M]_j^S \} + \frac{1}{4GJ_{j-1}^S \beta_{j-1}^S} \{ -B_j^S \phi_j^S(\ell) + \phi_j^S(0) \sum_{s=1}^S [B]_{j-1}^S \} + \frac{1}{4GJ_j^S \beta_j^S} \{ -B_j^S \phi_j^S(\ell) + \phi_j^S(0) \sum_{s=1}^S [B]_j^S \} + \frac{1}{L_{j-1}^S} \sum_{s=1}^S [\theta]_{j-1}^S + \frac{1}{L_j^S} \sum_{s=1}^S [\theta]_j^S - \frac{1}{L_{j-1}^S R_{j-1}^S} \sum_{s=1}^S [Y]_{j-1}^S + \frac{1}{L_j^S R_j^S} \sum_{s=1}^S [Y]_j^S = 0 \quad \text{----- (25)}$$

ただし \$[f]\_j^S = f\_{j-1}^{SM} M\_j^S + f\_{j-1}^{SB} M\_{j-1}^S + f\_{j-1}^{SB} B\_j^S + f\_j^{SB} B\_j^S\$  
 \$m^{SB}, \theta^{SB}, Y^{SB}\$ は単位支莫曲げ戻りモーメント \$B\_j^S\$ を、\$\dot{m}^{SB}, \dot{\theta}^{SB}, \dot{Y}^{SB}\$ は \$B\_{j-1}^S, B\_{j+1}^S\$ を作用させた場合の \$(n-1, S)\_{j-1}, (1, S)\_j\$ 莫の \$M, \theta, y\$ をそれぞれ表わす。

8 数值計算例

数值計算例として、三径間連続桁、閉断面主桁(DATA-1)、開断面主桁(DATA-2)の二例について例示する。

DATA-1

桁		断面二次モーメント $m^4$	接り定数 $m^4$
オ 一 径 間	A=C	$6.327 \times 10^2$	$6.722 \times 10^2$
	B=D	$5.433 \times 10^2$	$5.983 \times 10^2$
オ 二 径 間	A	$10.656 \times 10^2$	$8.527 \times 10^2$
	B	$7.861 \times 10^2$	$6.909 \times 10^2$
	C	$9.150 \times 10^2$	$8.233 \times 10^2$
	D	$6.760 \times 10^2$	$6.529 \times 10^2$
桁		オ1径間	オ2径間
曲 率 半 径	A	165.8 m	165.8 m
	B	161.3 "	161.3 "
	C	156.8 "	156.8 "
	D	152.3 "	152.3 "
径 向	A	6 @ 6.057m	10 @ 6.162m
	B	6 @ 5.892 "	10 @ 5.995 "
	C	6 @ 5.728 "	10 @ 5.828 "
	D	6 @ 5.564 "	10 @ 5.660 "
I <sub>0</sub>		$6.0 \times 10^{-3} m^4$	$6.0 \times 10^{-3} m^4$

DATA-2(等径間等半径)

I <sub>A</sub>	$2.120 \times 10^6 cm^4$	$I_{0A}^A 2.41 \times 10^8 cm^4$
I <sub>B</sub>	1.830 "	$I_{0B}^B 1.884 "$
I <sub>C</sub>	1.567 "	$I_{0C}^C 1.457 "$
J <sub>A</sub>	4.46 $cm^4$	R <sub>A</sub> 203.1 m
J <sub>B</sub>	4.25 "	R <sub>B</sub> 200 "
J <sub>C</sub>	4.06 "	R <sub>C</sub> 196.9 "
入	3.1 m	I <sub>0</sub> $5.88 \times 10^5 cm^4$

参考文献

- 1) R. Dabrowski "Zur Berechnung von gekrümmten dünnwandigen Trägern" DER STAHLBAU 12/1964 PP 364~365.
- 2) 能町純雄: "差分方程式で表わされる不静定構造物の和分変換による解法例" 土木学会北海道支部 技術資料23号 Z/1967, PP 173~177.
- 3) 能町純雄, 岡村忠夫, 吉田絃一: "定和分変換による曲線格子桁の解法" 土木学会北海道支部 研究発表会論文集 24号 Z/1968, PP 30~37.

